

VETROZ PRIEURE-VIGNERONS

RAPPORT D'INTERVENTION VEP18

Sylvain Ozainne, Romain Andenmatten, Christophe Panchard, Emmanuelle Evequoz,
Paul-Emile Mottiez
| Mars 2021



Couverture : Etape 4 de la surveillance des canalisations, rue du Prieuré. Vue vers le nord. Photo OCA.

Table des matières

Table des matières	2
Fiche signalétique.....	4
1. Site et contexte de l'intervention	5
1.1 Localisation	5
1.2. Contexte archéologique.....	5
1.3. Circonstances et déroulement de l'intervention	5
2. Résultats	7
2.1. Période 1, Phase I : niveau de sol, période indéterminée (étape 4, rue du Prieuré)	7
2.2. Dépôts naturels 1 et 2 (Nat 1, Nat 2) : colluvions et alluvions (étapes 3 et 4 rue du Prieuré, étapes 8 et 10 rue des Vignerons).....	7
2.3. Période 2, phases II à IV: époque moderne/contemporaine, XVI ^{ème} -XIX ^{ème} s. (étapes 3-4, 8-10)	7
2.3.1. Phase II : fosses, niveaux de démolition contenant des vestiges architecturaux romains remaniés (étape 4)	8
2.3.2. Phase III : mur en pierre sèche, vestiges romains remaniés (étape 3).....	8
2.3.3. Phase IV : pavage et murs maçonnés (étapes 8-10)	10
2.4. Dépôts naturels 3 (Nat 3) : colluvions (étape 4, rue du Prieuré)	11
2.5. Période 3, phases Va, Vb et VI: époque contemporaine, XIX-XX ^{ème} s. (étapes 1-12).....	11
2.5.1. Phase Va : égouts maçonnés (étapes 2, 5, 6, 7)	11
2.5.2. Phase Vb : bâtiment arasé, rue des Vignerons (étape 11).....	12
2.5.3. Phase VI: époque contemporaine XX ^{ème} s. (étapes 1-12)	13
3. Bilan de l'intervention.....	13
3.1. Bilan et discussion.....	13
3.2. Conclusion et perspectives.....	13
Annexes.....	15

Résumé

Dans le cadre d'une réfection de canalisations dans le village de Vétroz, une série de surveillances a été réalisée le long de la rue du Prieuré et de la rue des Vignerons entre septembre 2018 et février 2019. Elles ont permis d'observer plusieurs vestiges de bâtiments ainsi qu'un égout d'époque moderne. Sous la base d'un mur en pierre sèche moderne, une couche de limon foncé a livré une monnaie romaine impériale en argent (antoninien) du 3^{ème} siècle de notre ère. Des restes de démolition d'un ou plusieurs bâtiments romains ont également été identifiés. Deux datations par le radiocarbone de charbons de bois associés aux restes romains ont toutefois révélé une insertion moderne pour ces vestiges. Malgré leur remaniement et des indices chronologiques restreints, ces témoignages indiquent que le site de Vétroz s'insère vraisemblablement dans la continuité spatiale des établissements romains connus entre Conthey et Ardon.

Fiche signalétique

Caractéristiques du site

Commune	Vétroz, district de Conthey, canton du Valais, Suisse
Localité	Vétroz
Lieu-dit	Rue du Prieuré, Rue des Vignerons
N° dossier OCA	22367
N° de chantier	C1667
Sigle	VEP18
Coordonnées	CNS 1306, 2'587'887/ 1'117'435
Altitude moyenne	495 m
Surface fouillée	Env. 32 m ²
Type de gisement	Murs et égouts modernes ; couches de démolition romaine remaniées avec datation moderne
Type d'intervention	Suivi de canalisations
Dates des interventions	
Suivi et fouilles	Septembre 2018-février 2019
Liste des participants	
Responsable d'intervention	Sylvain Ozainne, archéologue, OCA ¹
Fouille et relevés	Romain Andenmatten, archéologue, OCA Christophe Panchard, étudiant
Topographie et technique	Romain Andenmatten, archéologue, OCA Sylvain Ozainne, archéologue, OCA
Rapport	Sylvain Ozainne, Romain Andenmatten, Christophe Panchard, Emmanuelle Evéquo, Paul-Emile Mottiez (OCA)

¹ Lors de l'intervention en 2018-2019, l'archéologie cantonale était rattachée en tant que section au Service des bâtiments, monuments et archéologie (DMTE/SBMA). Le 1^{er} janvier 2020, la section archéologie du SBMA a été rattachée au Service de la culture (DDSC/SC) et est devenue l'Office cantonal d'Archéologie (OCA).

1. Site et contexte de l'intervention

1.1 Localisation

Le chantier VEP18 rassemble une série d'observations archéologiques effectuées lors d'un suivi de réfection de canalisations dans le centre du village de Vétroz, principalement le long de la rue et du chemin du Prieuré. Des vestiges ont également été identifiés dans les tranchées ouvertes le long de la rue des Vignerons, dans le tronçon situé à l'ouest du carrefour avec le chemin du Prieuré (fig. 1).

1.2. Contexte archéologique

Les connaissances archéologiques concernant la commune de Vétroz demeurent assez peu abondantes et s'avèrent surtout associées à des découvertes anciennes remontant au XIX^{ème} siècle ainsi qu'à la première moitié du XX^{ème} siècle (Annexe 1).

Quelques trouvailles anciennes attestent la présence d'occupations protohistoriques, comprenant notamment des parures provenant vraisemblablement de contextes funéraires attribuées à l'Âge du Bronze (Loveyse, C1076 : BZA2B/B) ou au second Âge du Fer (C1076 : La Tène D2 ; C1085 : Halstatt D/La Tène A, La Tène D). La surveillance récente d'un terrassement (Le Raffort, C1669) a permis de confirmer l'existence dans la commune d'établissements La Tène, grâce à la découverte d'une fosse sans mobilier mais riche en charbons de bois, calée par une date radiocarbone entre 360 et 100 av. J.-C.² soit un intervalle large La Tène B1-La Tène D1.

La commune de Vétroz s'intègre surtout dans une zone très riche en vestiges d'occupations romaines, puisqu'elle s'intercale notamment entre l'établissement d'Ardon (Eglise de Saint-Jean et environs, C0076, C0077 : probable villa et caveau), daté entre le 1^{er} et le 3^{ème} siècles³, et la *villa rustica* et les caveaux de

la zone funéraire de Conthey (En Bailloz, C0418), fonctionnant en tout cas pendant la première moitié du 4^{ème} siècle de notre ère⁴. Sur la commune de Vétroz, on dispose aussi de mentions d'une nécropole romaine⁵ (Loveyse, C1076), de tombes avec urnes et monnaies⁶ (Au-dessus de Magnot, C1079) et d'une éventuelle sépulture de la même période (Haut de Vétroz, C1080). Des fragments de terre cuite architecturale et des tessons de céramique vraisemblablement romaine ont également été observés en 2019 à l'est du secteur archéologique de Vétroz (Chemin du Repos, C1856), sur un chantier encore en cours lors de la rédaction de ces lignes.

Plus généralement, des découvertes diverses attribuables à la période romaine se sont avérées assez fréquentes dans les communes voisines d'Ardon (Plateau d'Isières C0079 ; Château du Crest, C1407) et de Conthey (Aven, C0424 ; Saint-Séverin, C0420). On relèvera la découverte récente de plusieurs fosses funéraires romaines contenant des restes de crémation à Ardon lors des travaux d'agrandissement de l'école en 2019 (Proz Chevalley, C1787).

On signale également dans la commune de Vétroz quelques découvertes de tombes à dalles non attribuables à une période précise (Loveyse, C1076 ; Haut de Vétroz, C1081), ainsi que la présence d'une grotte ayant fonctionné comme habitat pendant le Moyen-Âge (Bollaire, C1083).

1.3. Circonstances et déroulement de l'intervention

Dans le cadre d'une réfection de canalisations dans le village de Vétroz, une série de surveillances a été réalisée le long de la rue et du chemin du Prieuré ainsi que dans la rue des Vignerons entre septembre 2018 et février 2019 (fig. 1). Le suivi des travaux a été effectué en douze étapes. Les étapes 1 à 3 ont concerné la partie inférieure de la rue du Prieuré, les parties 5 à 7 se sont concentrées sur le chemin du Prieuré, à l'amont du carrefour avec la ruelle

²Ozainne 2020

³Dubuis 1961

⁴ASSPA 1908, 1921, 1930, 1931 ; Dubosson 2006 ; Wiblé 1978

⁵ASSPA 1909

⁶Sauter 1950

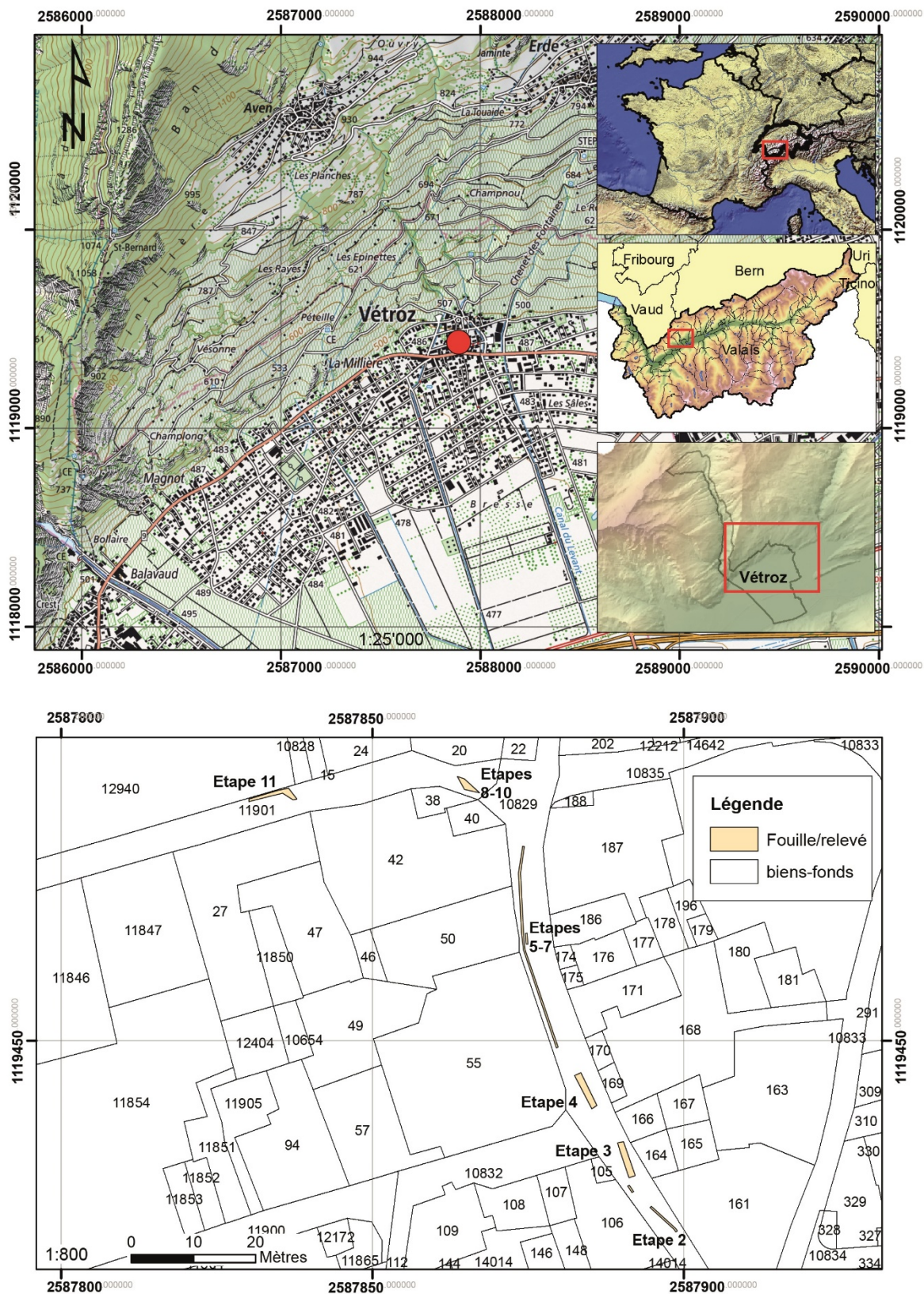


Fig. 1. Localisation des différentes étapes de surveillance des tranchées de canalisations. Seules les étapes ayant conduit à l'identification de vestiges archéologiques sont signalées ici (étapes 2, 3, 4, 5, 6, 7, 8, 9, 10, 11)

centrale, les étapes 8 à 11 ont été réalisées sur la rue des Vignerons et l'étape 12 s'est

limitée à une surveillance de l'amont du hemin du Prieuré, en-dessous de l'église.

Les étapes 2, 3, 4, 5, 6, 7, 8, 10 et 11 ont nécessité des interventions archéologiques ponctuelles (suivi de tranchées et relevés).

2. Résultats

La séquence chrono-stratigraphique présentée ci-dessous synthétise l'ensemble des observations réalisées lors des différentes étapes de surveillance (fig. 1; Annexe 2 à 8).

2.1. Période 1, Phase I : niveau de sol, période indéterminée (étape 4, rue du Prieuré)

La première phase correspond à un unique niveau de colluvions gris-beige (UT 23), intégrant de nombreux galets et pierres (< 10cm), quelques nodules de charbon de bois (<1 cm) ainsi que des fragments d'os (faune) au sommet. La surface de cette couche visiblement piétinée a été interprétée comme un ancien sol (Annexe 2, 3). Son insertion chronologique demeure inconnue, aucun vestige mobilier n'ayant été observé à l'exception des restes osseux.

2.2. Dépôts naturels 1 et 2 (Nat 1, Nat 2) : colluvions et alluvions (étapes 3 et 4 rue du Prieuré, étapes 8 et 10 rue des Vignerons)

Les ensembles Nat 1 et Nat 2 rassemblent des dépôts naturels observés lors de diverses étapes de surveillance réalisées dans la rue du Prieuré (Nat 1) et dans la rue des Vignerons (Nat 2). Aucune chronologie relative ne peut être établie de façon stricte entre les ensembles Nat 1 et Nat 2, qui sont toutefois tous deux clairement antérieurs aux niveaux attribués à la Période 2 (Annexes 2, 3).

Dans la rue du Prieuré (Nat 1), les colluvions de la phase I sont recouvertes par un niveau d'alluvions fines constituées de sables gris-noir assez meuble contenant quelques galets (UT 24), puis par des limons sableux gris-beige légèrement argileux correspondant à des colluvions intégrant un hypothétique reste de paléosol (UT 25). Un niveau de colluvions constituées de limon graveleux gris foncé intégrant quelques charbons de bois (UT 14) et situé à la base de la séquence décrite lors de la phase 3 est également attribué à l'ensemble Nat 1.

L'ensemble Nat 2 réunit les niveaux les plus profonds observés dans la rue des Vignerons lors des étapes 8 et 10, comprenant respectivement une succession de colluvions beige et beige-jaunâtre avec quelques inclusions de charbons de bois (UT 40 et UT 41) et un niveau de colluvions grossières beige (UT 46).

2.3. Période 2, phases II à IV: époque moderne/contemporaine, XVI^{ème} -XIX^{ème} s. (étapes 3-4, 8-10)

La période 2 rassemble les phases II à IV, correspondant à plusieurs séquences établies lors d'étapes de surveillances distinctes. Bien qu'il n'ait pas été possible d'établir une chronologie relative stricte entre elles, ces trois phases constituent un ensemble cohérent par rapport à la séquence générale (Annexe 2, 3). Les phases II et III bénéficient en outre chacune d'une date radiocarbone indiquant une contemporanéité au moins partielle (voir 2.3.1 et 2.3.2). La séquence décrite lors de l'étape 4, bien qu'associée à une date



Fig. 2. Tranchée de l'étape 4 en cours de fouille. Vue vers le sud

radiocarbone légèrement plus récente, a été numérotée en phase II en raison de sa succession directe avec les niveaux les plus anciens de la séquence complète de la rue du Prieuré (Phase I et Nat1).

2.3.1. Phase II : fosses, niveaux de démolition contenant des vestiges architecturaux romains remaniés (étape 4)

Observée pendant l'étape 4 (fig. 2), la séquence de la phase II débute par un ensemble de deux structures en creux de fonction incertaine (UT 26 et UT 32). L'UT 26 correspond à une fosse en auge de forme irrégulière d'une largeur maximale de 1.65 m et d'une profondeur maximale de 65 cm, présentant un remplissage intégrant des blocs roulés et ébréchés (<30 cm) dans une matrice assez proche de celle des colluvions de l'UT25 sous-jacente (Nat 1, limon sableux gris-beige) sur les 50 cm supérieurs; la partie inférieure de la fosse présente pour sa part un remplissage de limons gris sombre argileux comprenant des nodules de charbon (<2 cm) et des fragments de mortier (<7 cm). La fosse de l'UT 32 possède des caractéristiques générales similaires à celle de l'UT 26, avec des dimensions toutefois légèrement moins importantes (Annexe 2).

Recouvrant les UT 26 et 32, l'UT 27 correspond à un niveau de limon gris foncé légèrement argileux et graveleux avec des nodules de charbon de bois (<2 cm), des taches d'oxydation, des fragments de terre cuite architecturale (TCA) et de céramique (<3 cm) ainsi que des fragments d'enduit mural (<5 cm). Présentant une épaisseur maximale de 15 cm et un aspect compacté vers le nord, l'UT 27 a été interprétée comme un sol dans le log décrit à l'amont de la STG 03 (Annexe 2). Cette même couche tend toutefois à se dilater vers l'aval où son épaisseur atteint 30 cm et intègre des restes de TCA plus importants, dont au moins un fragment de *tegula* clairement identifiable. L'UT 27 peut ainsi être considérée comme un niveau d'épandage de démolition,

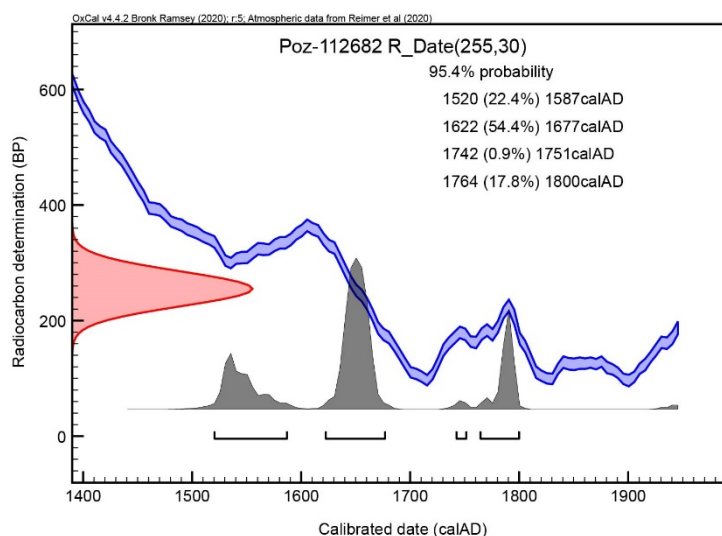


Fig. 3. Date radiocarbone obtenue pour l'UT 27 (Phase II, étape 4).

intégrant plusieurs indices pointant vers la période romaine. L'analyse radiocarbone d'un échantillon de charbon de bois (fig. 3) provenant de cette couche a toutefois livré une date indiquant une insertion dans l'époque moderne, soit entre la fin du XV^{ème} siècle et la fin du XVIII^{ème} siècle de notre ère⁷. L'UT 27 reflète donc la démolition à une période inconnue d'au moins un bâtiment d'époque romaine. Bien qu'il soit impossible d'affirmer à quel moment ce niveau d'épandage a été mélangé avec des charbons de bois modernes, il est vraisemblable que la démolition soit intervenue avant le XIX^{ème} siècle.

2.3.2. Phase III : mur en pierre sèche, vestiges romains remaniés (étape 3)

La phase III correspond à la séquence décrite lors de l'étape 3, dans la partie inférieure de la rue du Prieuré (fig. 1). S'articulant essentiellement autour d'un mur en pierre sèche découvert dans le profil est de la tranchée (fig. 4, 5), elle a été divisée en trois sous-phases (IIIa, IIIb et IIIc).

L'UT 12, la plus profonde de la phase IIIa, correspond à un probable remblai ayant pu servir de niveau de circulation et contenant quelques fragments de TCA et de rares

⁷ Poz-112682 : 255±30 BP, 1520-1800 cal AD 95.4% (Oxcal 4.4.2, IntCal 20)



Fig. 4. Vue générale du mur M09 (phase III), découvert lors de l'étape 3. Vue vers le sud-est



Fig. 5. Vue rapprochée du mur M09 et de la STG01. Vue vers l'est

charbons de bois (<1 cm) (Annexes 2, 3). Elle est recouverte par une couche de limon argileux noir-brun foncé compact et homogène (UT 15 et UT 21), comprenant des traces de rubéfaction, des nodules de charbon de bois de moins d'un centimètre ainsi que quelques rares nodules de mortier, de taille également inférieure au centimètre. Ce niveau d'occupation, auquel aucune structure n'était associée sur la faible surface observable, est calé par une date radiocarbone entre la fin du XV^{ème} et la fin du XVIII^{ème} siècle⁸.

La phase IIIb regroupe le mur M09 ainsi que sa tranchée de fondation UT13, laquelle incise les niveaux sous-jacents de la phase IIIa. L'UT 13 se démarque ainsi nettement des sédiments encaissants et se caractérise par la présence de quelques pierres posées à plat en fond de tranchée et un remplissage de limon argileux brun foncé-noir

⁸ Poz-112688 : 285±40 BP, 1488-1796 cal AD 95.4% (Oxcal 4.4.2, IntCal 20)



Fig. 6. Monnaie romaine impériale (antoninien ; 260-268), découverte en position secondaire dans l'UT 13 (Phase IIIb)

contenant quelques rares fragments de TCA ainsi que quelques nodules de mortier gris-blanc. L'UT 13 a également livré une monnaie romaine impériale (antoninien), attribuée à un intervalle chronologique compris entre 260 et 268 après Jésus-Christ (fig. 6, Annexe 9)⁹. Cette monnaie se situe donc clairement en contexte secondaire, le niveau d'occupation sous-jacent pouvant être attribué à l'époque moderne (XVI^{ème} - XVIII^{ème} siècle) sur la base d'une date radiocarbone obtenue sur un charbon de bois provenant de l'UT 15 (fig. 7).

D'orientation générale nord-sud, le mur M09 est constitué de pierres ébréchées (25-40 cm), de quelques boulets (20 cm) et de dalles de schistes (10 cm), non maçonnés mais liés à l'aide d'argile limoneuse jaune-ocre assez compacte. Il a pu être suivi sur 3.5 m de long, sa largeur maximale observable atteignant 53 cm. Sa position

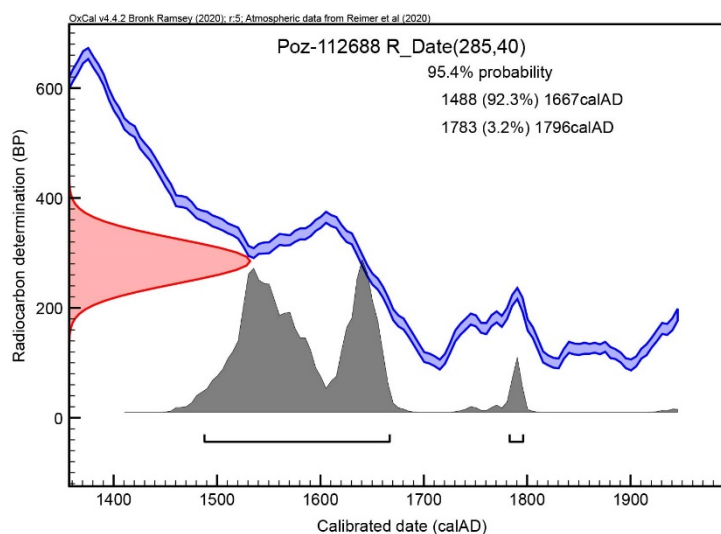


Fig. 7. Date radiocarbone obtenue pour l'UT 15 (Phase III, étape 3)

⁹ Détermination : Paul-Emile Mottiez

stratigraphique suggère que le mur a été construit lors d'une période récente, peut-être au XIX^{ème} siècle.

La phase IIIc comprend des niveaux de remblais et/ou de démolition postérieurs à la construction de M09. Au mur succède en effet une couche de limon brun-beige (UT 19 et UT 08) comprenant des inclusions de pierres, blocs et dalles pouvant correspondre à un niveau de démolition de bâtiment. L'UT 19 recouvre aussi plusieurs niveaux de remblais situés à l'est du mur (UT 10, UT 11 et UT 20), dont la relation stratigraphique avec le mur M09 n'a pu être déterminée de façon stricte. L'hypothétique fosse aux contours peu discernables (UT 22) s'ouvrant dans l'UT 19 dans la partie nord de la stratigraphie pourrait également correspondre à un événement lié à la démolition du bâtiment. Le sommet de la séquence de la phase 3 est constitué d'un nouveau niveau de remblais (UT 18) incluant quelques vestiges d'occupations remaniés (fragments de TCA



Fig. 8. Mur (M 44) et pavage (UT 42) observés lors des étapes 8 et 10 dans la Rue des Vignerons. Vue vers le nord

roulée, fragments fauniques, charbons de bois).

2.3.3. Phase IV : pavage et murs maçonnés (étapes 8-10)

La phase IV regroupe les vestiges découverts pendant les surveillances des étapes 8 à 10, effectuées dans la rue des Vignerons (fig. 1).

La séquence débute par une couche de limon jaune-beige compact (UT 45), interprétée comme un remblai et/ou des colluvions, pouvant être liés à l'aménagement d'un mur (M 44), maçonné et composé de blocs (<25 cm), de pierres diverses et de dalles (<18 cm) montés avec un mortier gris assez foncé, d'une granulométrie assez fine comprenant des nodules de chaux blanchâtres (fig. 8). A l'est du mur M 44, un petit épandage de mortier gris (UT 43) pourrait être associé à la construction de ce dernier. Un pavage constitué de petits blocs et dalles (UT 42) disposées de chant dans un niveau de sable gris moyen-grossier vient s'appuyer ensuite contre le mur M 44. L'UT 42 apparaît au même niveau qu'un autre vestige de pavage localisé plus à l'est et constitué de blocs, boulets et dalles également installés de chant (UT 39; fig. 9). Les UT 39 et 42,



Fig. 9. Pavage repéré lors de l'étape 8 (UT39) dans la Rue des Vignerons. Vue vers l'ouest.

apparaissant à la même altitude et présentant une composition et une disposition similaires, ont été considérées comme équivalentes. Ces vestiges de route, de cour ou de cave, situés environ 0.60 m sous la surface actuelle de la route, n'ont pas pu être datés. Il n'a malheureusement pas non plus été possible de déterminer leur insertion chrono-stratigraphique par rapport à celle de la maison située

immédiatement au nord (maison Cassina), dont la première étape de construction est probablement intervenue dans le courant du XVI^{ème} siècle¹⁰.

2.4. Dépôts naturels 3 (Nat 3): colluvions (étape 4, rue du Prieuré)

L'ensemble Nat 3 regroupe trois niveaux de colluvions (UT 28, UT 29 et UT 30) qui s'insèrent au-dessus de la séquence de la phase II, décrite lors de l'étape 4. Ces colluvions antérieures aux remblais de route ne comprenaient aucun reste de mobilier archéologique, seuls quelques fragments de mortier de chaux de taille inférieure à 0.5 cm ayant été observés dans l'UT 29. Bien que décrits comme colluvions et considérés comme des sédiments naturels, l'UT 29 pourrait constituer un remblai.

2.5. Période 3, phases Va, Vb et VI: époque contemporaine, XIX-XX^{ème} s. (étapes 1-12)

2.5.1. Phase Va : égouts maçonnés (étapes 2, 5, 6, 7)

La phase V regroupe les vestiges d'un système d'égouts (coulisses) observé de façon ponctuelle tout au long de la rue des Vignerons. Un premier élément de mur maçonné (M 03) a été repéré dès l'étape 2 (fig. 10). Le mur M 03, dont l'épaisseur n'excède pas 30 cm, a été monté avec de dalles et blocs de forme et de calibres hétérogènes, maçonnés à l'aide de ciment moderne type Portland. Correspondant au mur est du canal de l'égout, il est associé à un pavage de petits blocs et galets souvent disposés de chant (UT 04), recouvert d'une couche de sables grossiers et graviers rougeâtres oxydés (UT 05). Dans ces



Fig. 10. Vue du mur de l'égout moderne M03, lors de sa découverte pendant l'étape 2. Vue vers le nord



Fig. 11. Vue de la portion entièrement conservée de l'égout moderne, documenté lors de l'étape 6. Vue vers le sud

alluvions comblant le fond de la coulisse ont été prélevés des tessons de verre et de céramique du XIX^{ème} siècle¹¹ ainsi qu'une douille en laiton ou en cuivre dont les dimensions correspondent à celles de la munition GP11 de l'armée suisse. Ces données indiquent que l'égout moderne, probablement construit au XIX^{ème} siècle, fonctionnait encore pendant les premières décennies du XX^{ème} siècle, ainsi que le suggère la douille de GP11, dont la mise en service remonte à 1912. Un mur d'une autre portion du même canal a pu être observée lors de l'étape 2, dans le profil ouest de la tranchée (M 07).

Plusieurs tronçons d'une coulisse identique ont ensuite été décrits lors des étapes 5 et 6, dans la partie supérieure de la rue des Vignerons. Lors de l'étape 6, un segment d'égout complet a même pu être documenté sur environ 3.80 m de longueur, comprenant les murs Ouest (M 34) et Est (M 35), le pavage de fond (UT 36) et les dalles de couvertures (UT 52) (fig. 11). Cette portion de

¹⁰ Antonini et de Morsier Moret 2004

¹¹ Détermination : Emmanuelle Evéquo

coulisse a été réaménagée et réemployée au moins deux fois, comme l'attestent un rechapage en ciment du pavage du canal (UT 37) ainsi que la présence d'un tuyau en PVC déposé directement au fond de l'égout. Une petite portion de fond de coulisse rechapée au ciment (UT 53) a également été observée en association avec le mur M 33 lors de l'étape 5.

2.5.2. Phase Vb: bâtiment arasé, rue des Vignerons (étape 11)

Dans la partie est de la rue des Vignerons, les surveillances de l'étape 11 ont permis de documenter les vestiges d'un bâtiment complètement arasé (fig. 1), comprenant notamment un mur d'orientation est-ouest et d'une largeur maximale observée de 60 cm (M 47), a pu être suivi sur plus de 6 m le long du profil nord de la tranchée (fig. 12). La partie supérieure du mur M 47 se compose de blocs plats et dallettes de taille n'excédant pas 45 cm, avec un parement



Fig. 12. Vue du mur M 47, découvert pendant l'étape 11 à la Rue des Vignerons. Le mur est situé parallèlement et sous le tracé actuel de la rue. Il appartient à un bâtiment démoli entre 1946 et 1958.

sud constitué de blocs plats assez bien calibrés (35-45 cm), le blocage étant constitué de blocs plus petits (20 cm). La partie supérieure du mur M 47 est maçonnerie sur environ 55 cm de hauteur, ainsi que l'attestent des restes de mortier mal conservé de couleur gris-beige incluant des petits nodules de chaux ainsi que des petits graviers gris et blanc de taille inférieure à 5 mm. La partie inférieure du mur présente en revanche un jointoyage à base d'argile limoneuse beige-jaunâtre. La base de M 47, qui n'a pas pu être observée complètement en raison de la présence de tuyaux et de nombreux blocs de démolition, perce un niveau d'alluvions composées de sable gris-beige grossier, de graviers et de blocs (UT 48). Dans le fond de la tranchée, un niveau de limon brun (UT 51) incluant de nombreux déchets organiques ainsi qu'un reste de semelle moderne en cuir, vraisemblablement postérieur à la construction de M 47, a été interprété comme un ancien sol (fond de grange ou cave?).

Dans le profil sud de la tranchée, un second mur constitué de grosses dalles assez plates et maçonné à l'aide de ciment moderne (M 49) apparaît à angle droit par rapport au mur M 47. Un niveau de démolition très hétérogène incluant notamment du mortier altéré et des fragments de briques modernes vient s'appuyer contre le mur M 49.

Bien qu'aucun lien stratigraphique ne permette d'associer formellement les murs M 47 et M 49, l'hypothèse qu'ils appartiennent tous deux à un seul bâtiment apparaît comme la plus plausible, les deux structures formant un angle proche de 90° et l'espace de fond de tranchée situé entre elles s'avérant en partie occupé par le sol de l'UT 51. L'emplacement des murs coïncide en outre avec celui d'un bâtiment visible à l'ouest de la maison Cassina sur des photos aériennes de 1935 et 1946 mais disparu sur une photo de 1958¹². S'il n'a pas été possible de dater sa construction, il semble présent dans le quartier qui s'étend au sud-ouest de

¹² Images aériennes swisstopo n/b: ch.swisstopo.lubis-luftbilder-dritte-

kantone.ebkey: 19355506520006 (1935), 1946034002024 (1946) et 19589991388526 (1958).

l'église sur la carte Siegfried et pourrait donc remonter au moins au XIX^{ème} siècle.

2.5.3. Phase VI: époque contemporaine XX^{ème} s. (étapes 1-12)

La période 4/phase VI regroupe les UT correspondant aux remblais (UT 02, 17, 31 et 38) et à l'enrobé (UT 01, 16) des routes actuelles, observés lors de toutes les étapes (Annexe 3).

3. Bilan de l'intervention

3.1. Bilan et discussion

Si les différents vestiges découverts dans les tranchées de canalisations de la rue du Prieuré sont essentiellement attribuables aux périodes moderne et contemporaine, plusieurs éléments indiquent clairement la présence proche d'un établissement d'époque romaine. Le mobilier attribuable à cette période bénéficie d'un *Terminus Post Quem* de la seconde moitié du 3^{ème} siècle ap. J.-C. (260-268) grâce à la monnaie en argent découverte lors de l'étape 3. Les restes de démolition mis en évidence lors de l'étape 4 indiquent quant à eux la proximité d'un bâtiment qui pouvait s'élever dans la partie supérieure de l'actuelle rue du Prieuré. Une éventuelle contemporanéité de cette occupation avec celle de la *uilla rustica* et de la zone funéraire de Conthey En Bailloz, fonctionnant en tout cas pendant la première moitié du 4^{ème} siècle, s'avère donc envisageable. Les deux dates radiocarbone effectuées sur les secteurs concernés (étapes 3 et 4) indiquent que le dernier remaniement des vestiges romains est intervenu dans un intervalle compris entre la fin du XV^{ème} et le début du XIX^{ème} siècle, la date exacte de la démolition ne pouvant pas être estimée à partir des éléments recueillis.

Le mur en pierre sèche de la phase III n'a pas pu faire l'objet d'une interprétation précise. Le tracé du mur s'avère parallèle à celui de l'actuelle rue du Prieuré, à environ 1,5 m à l'ouest du muret bordant la route à l'est. Il pourrait s'agir d'un mur appartenant à un local indéterminé ou marquant l'ancienne limite entre la rue et les parcelles situées à l'est. Sa construction intervient dans un

intervalle compris entre le début du XIX^{ème} siècle et 1935, date à laquelle le muret actuel existait déjà ainsi que le révèle une photo aérienne. La rue du Prieuré, que l'on distingue déjà sur la carte Dufour, était donc plus étroite au XIX^{ème} siècle.

Le réseau d'égoûts maçonnés de la rue du Prieuré remonte potentiellement au XIX^{ème} siècle et était encore en fonction pendant la première moitié du XX^{ème} siècle. Son tracé a en outre été réutilisé pour faire passer une nouvelle canalisation en plastique.

Enfin, les murs maçonnés repérés dans la portion est de la rue des Vignerons correspondent pour leur part à un bâtiment qui a été démoli entre 1946 et 1958 pour faire place à la route actuelle.

3.2. Conclusion et perspectives

Les différentes étapes de surveillance des travaux de réfection de la rue du Prieuré ont révélé la présence de vestiges d'époque moderne et contemporaine, ainsi que de témoignages remaniés d'un établissement de la période romaine, remontant au plus tard à la fin du III^{ème} siècle de notre ère. La portion supérieure du village actuel s'insère donc dans la continuité des implantations romaines connues à Conthey et Ardon. Ces nouveaux éléments plaident pour une surveillance soutenue de la partie haute de Vétroz ainsi que vers l'est, en direction du site de Conthey En Bailloz. De nouvelles découvertes relatives à la même période permettraient en effet d'accéder à une vision continue de l'occupation romaine entre Conthey et Saillon et d'accéder ainsi à une meilleure compréhension de l'organisation du territoire pendant l'époque romaine sur la rive droite du Rhône.

Enfin, les datations ¹⁴C modernes associées aux indices d'occupation romaine soulèvent la question de la chronologie des états et des emplacements successifs de l'église de Vétroz, dont la construction puis les modifications pourraient être à l'origine de plusieurs épisodes d'épandage de vestiges de démolition de bâtiments romains le long de la rue du Prieuré.

Bibliographie

Annuaire de la Société Suisse de Préhistoire et d'Archéologie, ASSPA 1, 1908

Annuaire de la Société Suisse de Préhistoire et d'Archéologie, ASSPA 2, 1909

Annuaire de la Société Suisse de Préhistoire et d'Archéologie, ASSPA 4, 1911

Annuaire de la Société Suisse de Préhistoire et d'Archéologie, ASSPA 13, 1921

Annuaire de la Société Suisse de Préhistoire et d'Archéologie, ASSPA 22, 1930

Annuaire de la Société Suisse de Préhistoire et d'Archéologie, ASSPA 23, 1931

Antonini A. et de Morsier Moret M. 2004 Vétroz. Maison Cassina (rapport d'intervention non publié).

Paccolat O. et Philippoz J. 2008. Leytron. Chantier Le Régent 2007: Occupations de la fin de l'âge du Fer et de l'époque romaine (rapport de fouille non publié).

Dubosson B. 2006. Pratiques funéraires de l'Antiquité tardive et du Haut-Moyen-Age en Valais (Mémoire de Master d'Archéologie à l'UNIL).

Dubuis F.-O. 1961. L'église Saint-Jean d'Ardon (fouilles 1959-1960). In : Revue suisse d'Art et d'Archéologie, 21, 1961, fasc. 3/4, p. 113-142, PL 47-52.

Ozainne S. 2020. Le Raffort, VER18 (Vétroz). Rapport d'intervention non publié.

Sauter M.-R. 1950. Préhistoire du Valais, Des origines aux temps mérovingiens. In : Vallesia, V, 1950.

Wiblé F. 1978. Notes sur deux stèles funéraires d'époque romaine découvertes en 1901 à Plan-Conthey (VS). In : Revue suisse d'Art et d'Archéologie, 35, 1978, p. 158-161.

Annexes

Annexe 1. Contexte archéologique, localisation des chantiers. Source fond de carte : Office Fédéral de topographie.

Annexe 2. Relevés stratigraphiques des étapes 3 et 4 (STG01, STG02, STG03)

Annexe 3. Diagramme stratigraphique

Annexe 4. Liste des UT.

Annexe 5. Liste des prélèvements.

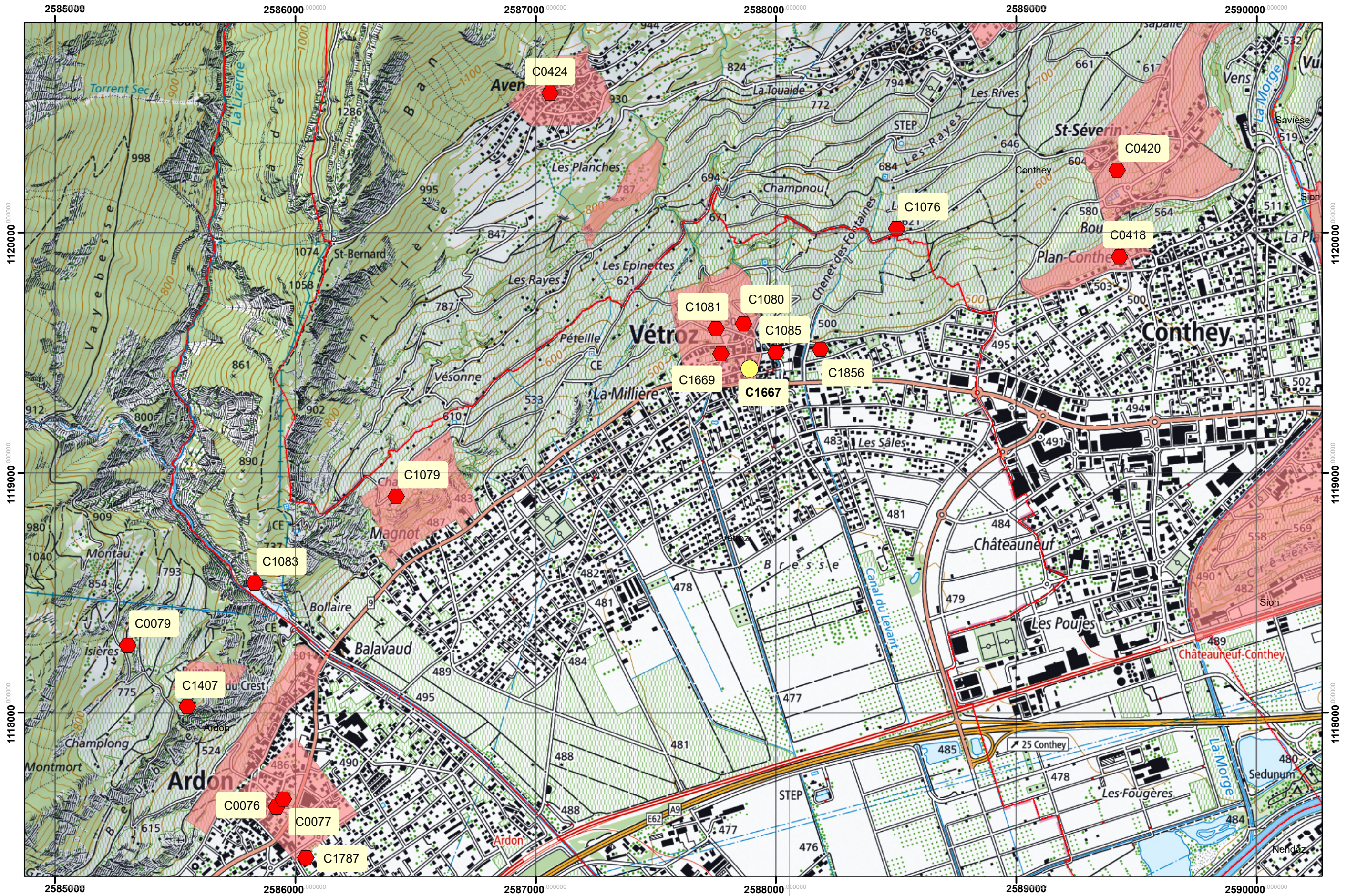
Annexe 6. Liste du mobilier

Annexe 7. Liste des relevés

Annexe 8. Liste des points topographiques

Annexe 9. Détermination de la monnaie romaine impériale découverte lors de l'étape 3. Détermination Paul-Emile Mottiez.

Annexe 1. Vétroz Rue du Prieuré-Rue des Vignerons (C1667 / VEP18). Contexte archéologique



Vétroz Prieuré-Vignerons / VEP18

Etapes 3 et 4, STG01, STG02, STG03

Ech. 1:40

2018

OCA / Sylvain Ozainne,
Romain Andenmatten,
Christophe Panchard



- M09 Numéros UT C14
- 001 Points topo

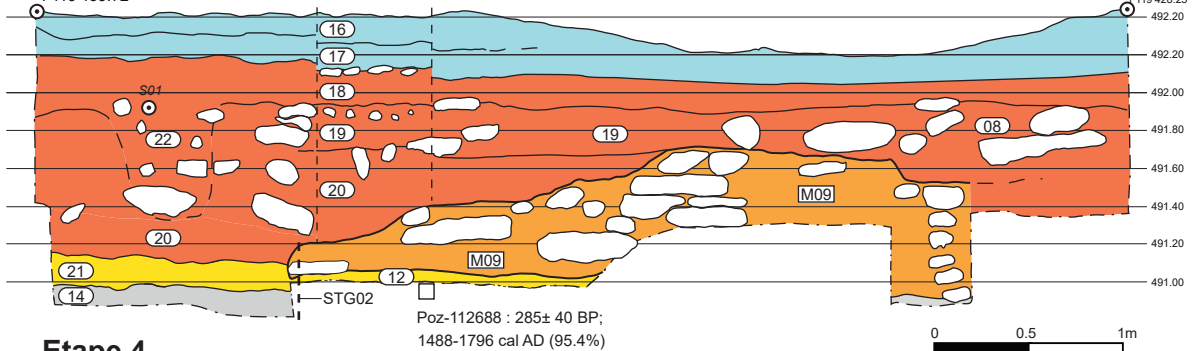
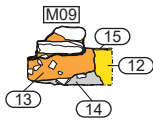
Etape 3

2°58'7.890.33
1°11'9.433.72

STG01 (profil est)

2°58'7.892.19
1°11'9.428.25

STG02 (profil sud)

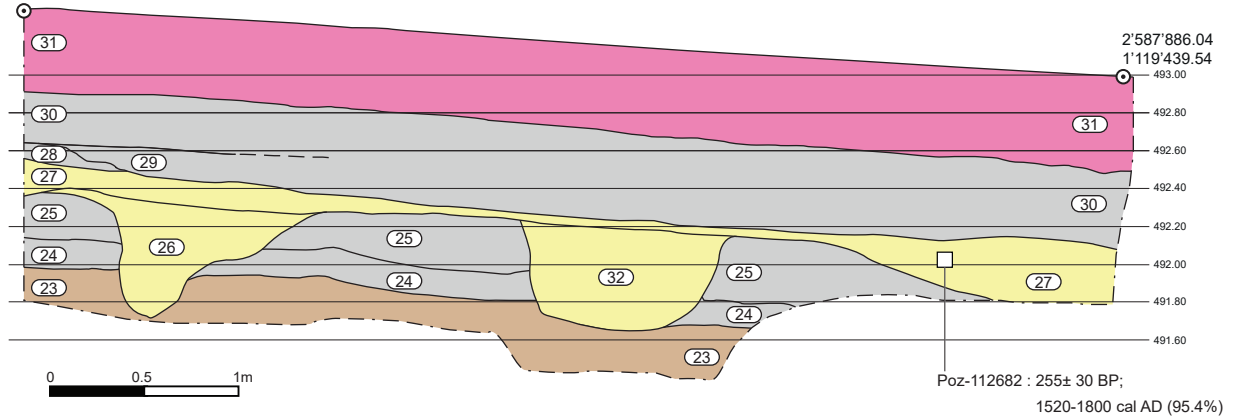


Etape 4

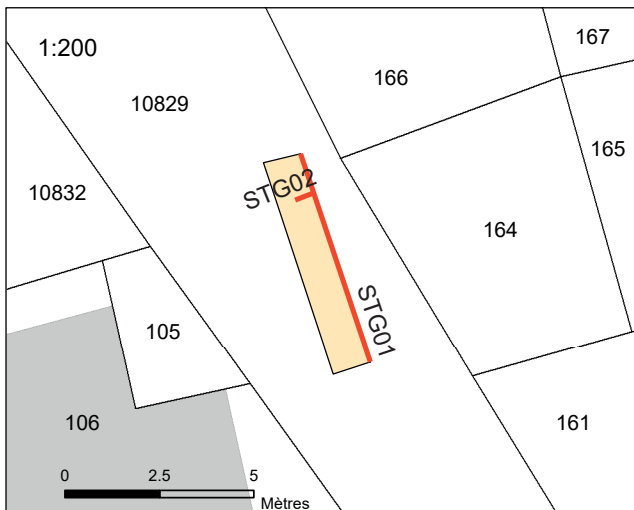
2°58'7.883.499
1°11'9.444.861

STG03 (profil est)

2°58'7.886.04
1°11'9.439.54



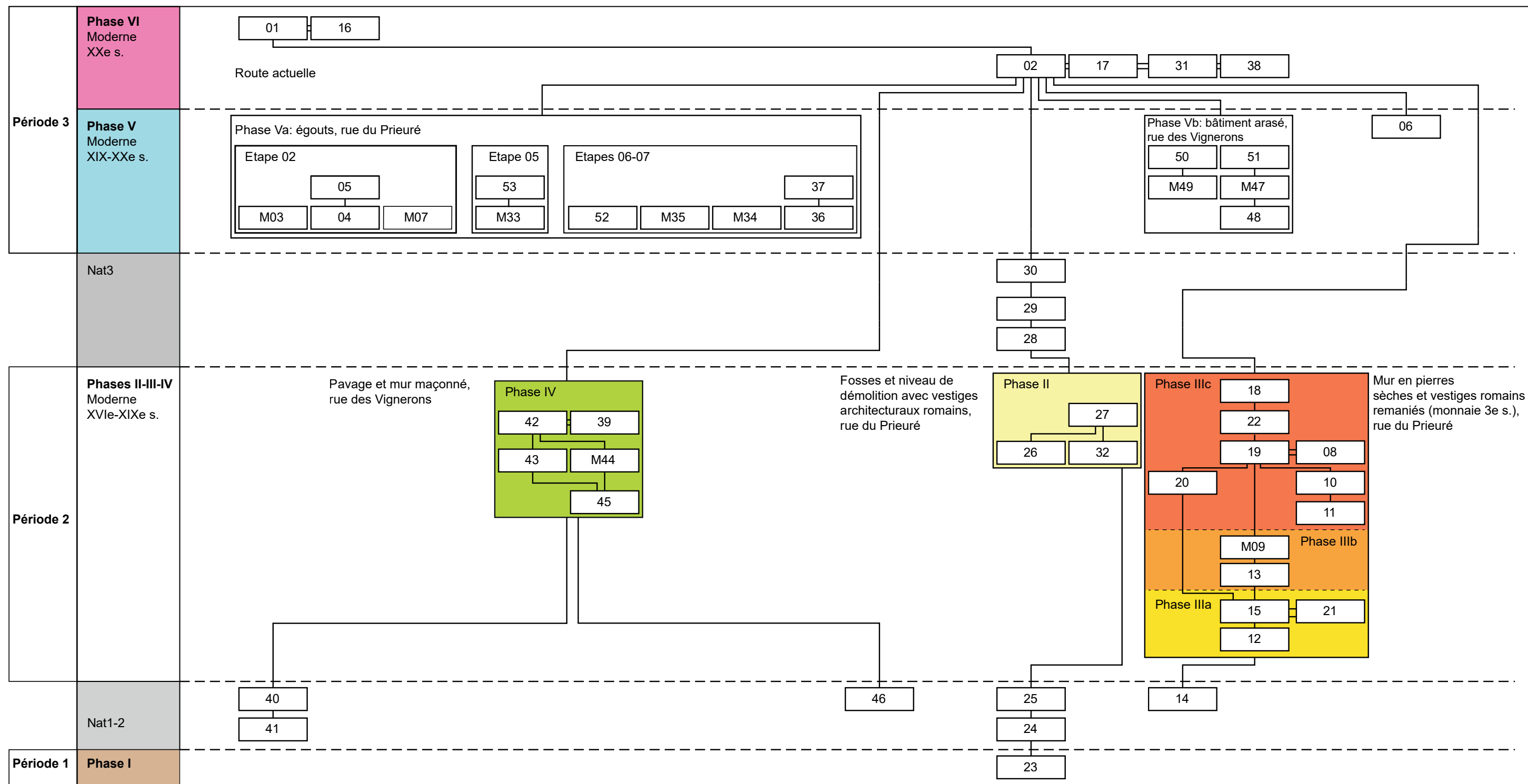
Etape 3



Etape 4



Annexe 3. Diagramme stratigraphique



Annexe 4. Liste des Unités stratigraphiques de Terrain (UT)

UT	Période	Phase	Etape	Description	Interprétation	Equivalence
01	3	Phase VI	1 à 12	Limon brun-beige hétérogène, pierres de calibres variés	Enrobé de la route moderne, remblai	
02	3	Phase VI	1 à 12	Limon brun-beige, hétérogène avec inclusions de pierres éparses (10cm), des graviers et des fragments de faune	Remblai moderne (route)	
M03	3	Phase Va	2	Mur maçonné, largeur d'env. 30 cm, constitué de dalles anguleuses et blocs de forme régulière < 40 cm dans la portion sud. Dans la portion s'étendant vers le nord, blocs et dalles moins anguleux, de forme et de calibres plus irréguliers, de taille souvent inférieure aux blocs de la portion sud. Mortier = mortier type "portland", bien conservé et compact	Mur de coulisse, égout moderne	
04	3	Phase Va	2	Petits blocs et galets < 15 cm souvent disposés de chant	Pavage de fond d'égout	
05	3	Phase Va	2	Sables grossiers et graviers rougeâtres oxydés, incluant des restes de mobilier moderne: céramique fin XIXème -début XXème siècle, verre, porcelaine, une douille de munition GP11 (mise en service =1912)	Comblement alluvionnaire de fond d'égout, fonctionnant vraisemblablement encore dans le 1er quart du XXème siècle	
06	3	Phase Va	2	Alternance de niveaux de mortier blanc-rose altérés et de niveaux de sable gris foncé	Niveaux de démolition dont l'épandage est lié à fouilles de canalisations précédentes / restes de niveaux de construction de mur?	
M07	3	Phase Va	2	Pan de mur maçonné semblable à M03	Suite de l'égout moderne	
8	2	Phase IIIc	3	Limon brun-beige, hétérogène avec inclusions de grosses pierres (20cm), des pierres éparses (7cm), des graviers et des fragments de faune	Remblai incluant des restes de démolition de M09 et/ou d'un autre aménagement	19

Annexe 4. Liste des Unités stratigraphiques de Terrain (UT)

UT	Période	Phase	Etape	Description	Interprétation	Equivalence
M09	2	Phase IIIb	3	Mur d'orientation NS constitué de pierres ébréchées (25-40cm), de rares boulets (20cm) et de dalles de schistes (10cm), lié à la terre argilo-Limoneuse jaune-ocre, grasse et assez compacte. Longueur conservée de 3,5m et épaisseur évaluée à 30-53cm. Ressaut de fondation sortant de 8cm à l'ouest à 45cm à partir du fond. Parementé à l'ouest, blocage de petits boulets (15cm) et pierres roulées (15cm) dans la même terre argileuse que le mur. Largeur max. observée: 53 cm	Mur	
10	2	Phase IIIc	3	Matrice limono-argileuse jaune-beige avec des pierres (12cm) en disposition quasi chaotique.	Remblai de tout-venant	
11	2	Phase IIIc	3	Matrice limono-argileuse jaune-beige avec une importante densité de pierres (12cm), peu d'interstices. Le sommet de UT11 semble coïncider avec le sommet des deux rangées inférieures du mur	Remblai de tout-venant	
12	2	Phase IIIa	3	Matrice limono-argileuse, brun foncé-gris, assez compacte, homogène contenant de rares pierres ébréchées (8cm), quelques graviers (3cm), quelques frag. De TCA (3cm), de rares charbons (1cm)	Remblai dont le sommet a servi de niveau de circulation / sol	
13	2	Phase IIIb	3	Tranchée de fondation du mur M09 dont le fond est délimité par quelques pierres (8cm) posées à plat. Une interface entre la tranchée et son mur est nettement visible. Il s'agit d'une matrice Limono-argileuse brun foncé-noir contenant quelques pierres ébréchées (5cm), de rares fragments de TCA (3cm), quelques nodules de mortier gris-blanc, dur et avec du sable grossier et quelques graviers (2cm) et de nombreux gravillons en poche (<1cm)	Tranchée de fondation du mur UT9	
14		Nat1	3	Matrice Limono-graveleuse, gris foncé, homogène, assez compacte contenant quelques pierres ébréchées (5cm), quelques graviers (3cm) et de nombreux gravillons (1cm), quelques charbons de bois	Colluvions de pente	
15	2	Phase IIIa	3	Limon argileux noir-brun foncé, homogène, assez compacte, contenant des nodules de charbon (1cm), des gravillons (1cm) et de rares nodules de mortier (1cm). Présence de traces de rubéfaction brun-roux	Couche d'occupation	21

Annexe 4. Liste des Unités stratigraphiques de Terrain (UT)

UT	Période	Phase	Etape	Description	Interprétation	Equivalence
16	3	Phase VI	3	Remblai moderne	Remblai de route	
17	3	Phase VI	3	Limon brun foncé très compact, pierres et dallettes fragmentées < 10 cm, charbons de bois, petits fragments de faune	Remblai de route	2
18	2	Phase IIIc	3	Limon brun-beige assez fin, fragments de faune épars, pierres éparses < 10 cm, fragments de TCA roulée, charbons de bois épars, petits nodules blanchâtres	Remblais colluviés / restes de sol remaniés	
19	2	Phase IIIc	3	Matrice de limon brun-beige comparable à celui de l'UT 18, associée sur toute la longueur du profil à un niveau de pierres, blocs et dallettes < 30 cm	Eventuel reste d'aménagement remanié fonctionnant avec une grande dalle visible dans la portion sud du profil OU restes de démolition du mur M09	8
20	2	Phase IIIc	3	Limon brun proche de celui de l'UT18, plus foncé, charbons de bois < 4 cm, fragments de TCA, fragments de faune, graviers épars	Remblai, restes d'occupation remaniés	
21	2	Phase IIIa	3	Limon brun-noir, charbons de bois, gravillons, pierres < 12 cm	Sol, couche d'occupation	15
22	2	Phase IIIc	3	Remplissage de perturbation, comparable à UT18 mais comprenant du limon jaune-beige plus claire, pierres < 40 cm	Perturbation aux limites peu claires (fosse, fouille?) incluant peut-être des restes de destruction du mur M09	
23	1	Phase I	4	Limons argileux peu gravillonneux, gris-beige, avec de nombreux galets et des pierres roulées (10cm) avec quelques nodules de charbon (0,6cm), des os fragmentés en OK (os prélevé)	Colluvions dont la surface est piétinée (paléosol)	
24		Nat1	4	Sable gravillonneux peu compact gris sombre à noir et oxydés par taches avec quelques galets (5cm)	Alluvions fines	
25		Nat1	4	Limons sableux gris-beigeâtre un peu gras avec des taches d'oxydation avec quelques pierres roulées (10cm)	Colluvions-paléosol	

Annexe 4. Liste des Unités stratigraphiques de Terrain (UT)

UT	Période	Phase	Etape	Description	Interprétation	Equivalence
26	2	Phase II	4	Fosse en auge de forme irrégulière d'une largeur max. de 1,65m et d'une profondeur max. de 65cm dont le remplissage est composés de blocs roulés et ébréchés (30cm), vacuolaire et avec une matrice d'infiltration proche de UT25 sur les 50cm supérieurs et avec des Limons gris sombre argileux avec des nodules de charbon (2cm) et des fragments de mortier (7cm) dans les 15cm inférieurs	Fosse de fonction incertaine comblée de remblais à base d'épierrage et de niveau d'occupation mêlé de démolition	
27	2	Phase II	4	Limons gris sombre légèrement argileux et graveleux avec des nodules de charbon de bois (2cm), des taches d'oxydation, des fragments de TCA et de céramique (3cm) et des fragments d'enduit mural (5cm)	Sol incluant de nombreux restes de démolition. Se développe et devient plus épais en aval, avec des restes de TCA de plus grandes dimensions (au moins un fragment de tegula). Niveau de démolition d'un ou plusieurs bâtiments romains, remanié pendant l'époque moderne	
28		Nat3	4	Matrice Limoneuse un peu graveleuse, beige et légèrement grasse	Colluvions fines	
29		Nat3	4	Limons sablo-graveleux, gris-beige clair avec quelques pierres roulées (7cm) et des dallettes ébréchées (10cm) et des fragments de mortier de chaux (0,5cm)	Colluvions (remblais?)	
30		Nat3	4	Similaire à UT29 mais plus grossier et moins compacte	Colluvions	
31	3	Phase VI	4	Similaire à UT29 mais plus gris et assez meuble	Remblai à base de colluvions et de tout-venant	2
32	2	Phase II	4	Fosse en auge de forme irrégulière d'une largeur max. de 1,65m et d'une profondeur max. de 55cm	Fosse de fonction incertaine, comparable à celle de l'UT 26	

Annexe 4. Liste des Unités stratigraphiques de Terrain (UT)

UT	Période	Phase	Etape	Description	Interprétation	Equivalence
M33	3	Phase Va	5	Portion de mur de même type que M03, située sur le côté est de la rue et de la fouille de canalisations orienté nord-sud, conservé sur une longueur de 1.40 m et 0.60 m de haut. Largeur de 0.30 m, identique à celle de M03. Mur mal conservé et inondé par un égout encore actif, non relevé	Mur de coulisse, égout moderne	
M34	3	Phase Va	6-7	Mur ouest d'une section de coulisse situé sur le côté ouest de la rue et découvert lors de l'aménagement d'une chambre	Coulisse avec dalles de couverture. Egout moderne (fin XIX-début XXème) réaménagé et réemployé au moins deux fois (rechapage de ciment sur une longueur de 2.00 m environ; pose d'un tuyau PVC dans la canal). Le M34 se poursuit au sud et au nord de la rue du Prieuré.	
M35	3	Phase Va	6	Mur est d'une section de coulisse dont les deux murs sont conservés, situé sur le côté ouest de la rue et découverte lors de l'aménagement d'une chambre. La coulisse complète (M34 + M35) n'est conservée que sur 3.80 m de long, l'extrémité nord étant encore complète avec les dalles de couverture; au moins une dalle de couverture conservée au sud	Coulisse avec dalles de couverture. Egout moderne (fin XIX-début XXème), mur fonctionnant avec M34. Contrairement à M34, le mur est de la coulisse n'est conservé que sur 3.80 m de long	
36	3	Phase Va	6	Blocs et galets < 20 cm disposés de chant ou à plat, pavage comparable à celui de l'UT 04	Pavage de fond de coulisse	
37	3	Phase Va	6	Ciment	Rechapage du fond de coulisse	
38	3	Phase VI	8	Remblai hétérogène type tout-venant avec des pierres (15cm) dans une matrice limono-sableuse avec des traces d'oxydation	Remblai de route	2

Annexe 4. Liste des Unités stratigraphiques de Terrain (UT)

UT	Période	Phase	Etape	Description	Interprétation	Equivalence
39	2	Phase IV	8	Blocs et boulets de taille et forme hétérogène (18-20cm), des pierres et fragments de dallettes plus fines, ces dernières étant disposées de chant. Le sommet des boulets et des pierres délimite une surface très régulière quasi horizontale dans la coupe ouest. Cependant dans le profil sud, le niveau montre une légère pente, à peu près semblable à celle de la route actuelle	Pavage, ancien niveau de la route ou de cour/de cave semi-enterrée	
40		Nat2	8	Limon argileux beige avec inclusions de graviers et de petites pierres (5cm)	Colluvions	
41		Nat2	8	Argile limoneuse beige-jaune, plus claire que UT25 avec des inclusions éparses de graviers, petites pierres (4cm) et quelques charbons de bois épars (PLV001)	Colluvions	
42	2	Phase IV	10	Pierres et dallettes (18cm) de chant dans une matrice de sable gris, moyen à grossier, avec la présence d'un niveau de limon jaune-beige compact à la base. La dernière dallette de chant vient s'appuyer contre un bloc (parement?)	Pavement/dallage, idem UT 39	
43	2	Phase IV	10	Petit épandage de mortier gris	Niveau de construction du mur?	
M44	2	Phase IV	10	Mur maçonné composé de blocs (25cm), de pierres diverses et dallettes (18cm) pris dans un mortier gris assez foncé, d'une granulométrie assez fine avec des nodules blanchâtres (chaux)	Mur	
45	2	Phase IV	10	Limon compact jaune-beige	Remblai et/ ou colluvions, éventuellement liés à l'aménagement de M44	
46		Nat2	10	Limon graveleux beige avec des pierres (10cm)	Colluvions grossières	

Annexe 4. Liste des Unités stratigraphiques de Terrain (UT)

UT	Période	Phase	Etape	Description	Interprétation	Equivalence
M47	3	Phase Vb	11	Mur assez large, visible sur en tout cas 60cm de large à son extrémité est. Tout à l'est le mur a été démoli par la fouille ainsi que par des tranchées plus anciennes. Dans la partie du sommet, les blocs sont jointoyés avec un mortier assez friable, couleur gris-beige avec des nodules blanchâtres (chaux), des gravillons gris et blanc (0,5cm). Des traces de mortier sont observables en tout cas sur les 55cm supérieurs de la hauteur du mur. Les blocs du fond, sur une hauteur d'au moins 25cm sont pour leur part jointoyés avec un limon plus ou moins argileux beige-jaunâtre. La base du mur a été difficile à observer, toute la partie centrale de la tranchée étant comblée par des restes de démolition incluant des blocs. Le sommet du mur visible est caractérisé par des blocs plats et des dallettes (45cm), l'ensemble des blocs du parement sud étant constitué de blocs assez bien calibrés, plats, oscillant entre 35 et 45cm. Le blocage est constitué de blocs (20cm)	Mur	
48	3	Phase Vb	11	Sables gris-beige grossier, graviers et blocs (15cm)	Alluvions	
M49	3	Phase Vb	11	Mur constitué de grosses dalles plus ou moins plates, avec une maçonnerie de ciment moderne. Pourrait rejoindre à angle droit M 47, mais aucun lien stratigraphique n'est conservé	Mur	
50	3	Phase Vb	11	Paquet très hétérogène contenant du mortier altéré et des briques modernes	Niveau de démolition moderne	
51	3	Phase Vb	11	Limon brun, très organique contenant des restes de semelle en cuir	Fond de l'ancien bâtiment ou couche de démolition	
52	3	Phase Va	6	Dalles en pierre	Dalles de couverture de la coulisse des M34 et M35	
53	3	Phase Va	5	Ciment	Rechapage du fond et bord de coulisse (M33)	

Annexe 5. Liste des prélèvements

N° PLV	Type PLV	UT	Phase	Etape	Mode de PLV	N°lab C14
1	Charbon de bois	15	Phase IIIa	3	Fouille	Poz-112688
2	Charbon de bois	27	Phase II	4	Fouille	Poz-112682
3	Charbon de bois	26	Phase II	4	Fouille	
4	Charbon + os	8	Phase IIIc	3	Fouille	
5	Charbon de bois	41	Phase IV	8	Fouille	
6	Mortier	42	Phase IV	10	Fouille	
7	Mortier	M47	Phase Vb	11	Fouille	
8	Mortier	M49	Phase Vb	11	Fouille	

Annexe 6. Liste du mobilier

N° d'objet	Etape	UT	Phase	Matière 1	Matière 2	Objet	Description
1	3	13	IIIb	Métal	Argent	Monnaie	Antoninien en argent
2	3	15	IIIa	Os	Faune	Os divers	Vrac faune
3	3	12	IIIa	Os	Faune	Os divers	Vrac faune
4	3	8	IIIc	Os	Faune	Os divers	Vrac faune
5	4	—	—	Os	Faune	Os divers	Vrac faune étape 4
6	3	12	IIIa	Os	Homme	Dent	Dent humaine?
7	3	15	IIIa	Terre	TC	Fmt TC	Terre cuite
8	4	27	II	Terre	TC	TC	Fragment tegula
9	3	12	IIIa	Terre	TC	TC	Vrac TC
10	11	2	VI	Terre	Cer	Tesson	Tesson moderne
11	3	20	IIIc	Terre	Cer	Tesson	Tesson indéterminé
12	4	24	Nat1	Terre	Cer?	Tesson?	Tesson?
13	4	24	Nat1	Enduit			Enduit
14	2	—	V-VI	Verre	Verre		Verre moderne
15	2	5	Va	Métal	Cuivre	Douille	Douille en cuivre munition GP11
16	3	—	—	Métal	Fer	ind	Fmt fer moderne fond sondage étape 3

Annexe 7. Liste des relevés de terrain

Type	N°	Zone	Support	Echelle	Description
STG	1	Etape 3	Calque	1:20	Relevé général profil est étape 3
STG	2	Etape 3	Papier quadrillé 5mm	1:10	Relevé profil sud sondage M09
STG	3	Etape 4	Papier quadrillé 4mm	1:25	Relevé général schématique profil est étape 4
STG	4	Etape 8	Papier quadrillé 4mm	1:25	Relevé schématique profil ouest
STG	5	Etape 10	Papier quadrillé 4mm	1:25	Relevé schématique profil nord
STG	6	Etape 11	Papier quadrillé 4mm	1:25	Relevé schématique profil nord

Annexe 8. Liste des points topographiques

ID	Point	UT	Etape	X	Y	Z
1	M03-1	M03	2	2587898.735	1119419.17	—
2	M03-2	M03	2	2587898.474	1119419.571	—
3	M03-3	M03	2	2587894.594	1119423.094	—
4	M03-4	M03	2	2587898.971	1119419.345	—
5	M03-5	M03	2	2587898.713	1119419.744	—
6	M03-6	M03	2	2587894.79	1119423.307	—
7	M07-1	M07	2	2587891.907	1119425.671	—
8	M07-2	M07	2	2587891.262	1119426.716	—
9	M07-3	M07	2	2587891.721	1119429.898	—
10	M07-4	M07	2	2587891.149	1119430.729	—
11	Pt Ref VIS_G_N3		3-4	2587878.196	1119438.749	495.883
12	Pt Ref VIS_G_N5		3-4	2587876.356	1119448.551	497.497
13	Pt Ref VIS_G_N7		3-4	2587873.595	1119457.885	497.509
14	Pt Ref VIS_G_N8		3-4	2587891.355	1119442.355	496.173
15	Pt Ref C3		3-4	2587887.684	1119452.033	496.448
16	Pt Ref C2		3-4	2587865.346	1119496.117	499.757
17	Pt Ref C1		3-4	2587868.612	1119484.532	499.14
18	Pt Ref Etape03_04		3	2587886.002	1119438.634	494.722
19	clouS01		3	2587890.542	1119433.158	491.917
20	clouP01		3	2587890.329	1119431.908	491.13
21	clouP02		3	2587890.931	1119430.908	491.063
22	M09-1	M09	3	2587890.271	1119432.152	491.102
23	M09-2	M09	3	2587891.516	1119430.275	491.428
24	Pt Ref Etape04		4	2587883.217	1119436.855	494.697
25	clouS03		4	2587883.711	1119444.585	492.463
26	clouS04		4	2587884.783	1119442.36	492.233
27	UT27-1	27	4	2587883.499	1119444.861	492.562
28	UT27-2	27	4	2587886.04	1119439.54	492.063
30	M34-1	M34	6	2587874.422	1119465.447	—
32	M34-2	M34	6	2587874.224	1119467.55	—
33	M34-3	M34	6	2587879.802	1119448.985	—
29	M35-1	M35	6	2587874.712	1119465.423	—
31	M35-2	M35	6	2587874.501	1119467.814	—
34	M34-4	M34	7	2587873.757	1119477.016	—
35	M34-5	M34	7	2587874.422	1119481.326	—
36	UT39/42-1	39/42	8; 10	2587864.795	1119490.547	—
37	UT39/42-2	39/42	8; 10	2587867.192	1119490.001	—
38	UT39/42-3	39/42	8; 10	2587864.749	1119492.24	—
39	UT39/42-4	39/42	8; 10	2587863.608	1119492.605	—
40	M44-1	M44	10	2587863.638	1119492.695	—
41	M44-2	M44	10	2587862.865	1119492.785	—
42	M47-01	M47	11	2587836.501	1119490.744	496.577
43	M47-02	M47	11	2587835.6	1119489.899	496.53
44	M47-03	M47	11	2587835.298	1119490.466	497.219
45	M47-04	M47	11	2587834.655	1119490.302	497.227
46	M47-05	M47	11	2587834.747	1119489.698	497.181
47	M47-06	M47	11	2587833.887	1119489.49	497.168
48	M47-07	M47	11	2587833.715	1119490.057	497.262
49	M47-08	M47	11	2587830.179	1119488.933	497.26
50	M47-09	M47	11	2587830.157	1119488.554	496.662
51	Limite sud tranchée		11	2587837.262	1119488.839	497.092
52	Limite sud tranchée		11	2587837.846	1119488.963	497.227

Saisie d'objets individuels

Saisie de la découverte

canton Valais code CSI - :
 commune Vétraz
 localité Vétraz
 lieu-dit
 coordonnées nationales X: Y: date de la découverte 26.03.18
 carré / coupe altitude
 n° diagramme de Harris couche UT 13
 n° de la trouvaille VE.P.18-E3-UT003

Classification

classification fonctionnelle

monnaie jeton de compte médaille
 tessère, marque de valeur, méreau, jeton jeton de dédicace, de pèlerinage autre:

attribution chronologique

époque indéterminée moyen-âge
 antérieure à l'invention de la monnaie frappée moyen-âge I: 498 à 751
 antique moyen-âge II: 751 à environ 1180
 antique I: VIII^e s. à 27 av. J.-C. moyen-âge III: environ 1180 à 1500
 antique II: 27 av. J.-C. à 294/296 ap. J.-C. époque moderne
 antique III: 294/296 à 498 époque moderne I: 1500 à 1799
 époque moderne II: 1800 à nos jours

Identification

autorité émettrice Gallien
 atelier Milan
 datation de 260 à 268
 appréciation indéterminée approximative reconstituée exacte
 dénomination Antoninien

attribution traditionnelle par la recherche

indéterminée monnaie romaine républicaine monnaie gauloise (Vienna, Copia)
 monnaie celtique monnaie romaine impériale autre:

matière

AE aes (laiton / bronze / cuivre, monnaies antiques) BR bronze (MA / époque moderne) PB plomb
 AL aluminium CN cupro-nickel (époque moderne) PT platine
 AR argent CU cuivre (MA / époque moderne) SN étain
 AV or EL électron autre:
 BI billon (MA / époque moderne) ME laiton (médailles et autres objets)

technique de fabrication

indéterminée fourrage, noyau en AE "Vierschlag"
 frappe fourrage, noyau en FE "serratus"
 coulage surfrappe autre:

Légende et description

légende de l'avvers [I]MP GA[LLIENVS P AVG]
 légende du revers SALVS A[V]G ; MP (in exergue)
 description de l'avvers tête à dr., radiée
 description du revers Esculape debout à g., tenant un serpent sur un bâton.
 type
 marques d'atelier et d'officine M.P
 références numismatiques RIC V. part 1, p. 176, N° 511a

statut

indéterminé imitation faux moderne autre:
 frappe officielle faux d'époque faux d'époque indéterminée

Caractéristiques individuelles

poids (g) 2.61 axe 180
diamètre (mm) max. 21.40 min. 20.30

forme: plan

ronde à quatre pointes
ovale autre:
carrée, aux coins arrondis

forme: coupe

plate en forme de bractéate
en biseau autre:
scyphate, en forme de coupe

Défauts de fabrication et hybrides

indéterminé
sans défaut
bout de lamelle
hybride.
autre:
avers coins endommagé
revers défaut du flan
tréflage
frappe décentrée
monnaie incuse
coin usé
autre:

Détérioration et utilisation secondaire

indéterminé
intact
cassé (plus de 3/4 intacts)
cassé (moins de 3/4 intacts)
fragmenté (en 2 ou plusieurs parties)
coupé, limé
ajusté
troué
monté en bijou
martelé
autre:

Manipulations postérieures

indéterminé aucune
coupé en deux
coupé en quatre
autre partition:
avers rainuré, prép. pour coupe
revers contremarque*
poinçon*
coup (instruments sauf poinçon)*
graffito*
autre:

*description:

Etat de conservation

usure avers revers
indéterminée
non usé à peu usé
légèrement usé
0.3 usé 0.3
fortement usé
fruste
corrosion avers revers
indéterminée
non corrodé à peu corrodé
légèrement corrodé
0.3 corrodé 0.3
fortement corrodé
entièrement corrodé

Documentation et étude

lieu de conservation SBMA, Sim

n° d'inventaire n° du négatif de la photo

qualité des données

étude de l'objet même;
objet présent pour l'étude, mais certaines données reprises d'ailleurs;
sans original, mais toutes les données importantes accessibles sous forme écrite;
sans original, certaines données accessibles sous forme écrite;
sans original, détermination sommaire écrite;
sans original, communication orale;

Bibliographie et documentation écrite de l'objet

(auteur(s), titre, tome, année et lieu de parution, page(s); pour la documentation écrite un maximum de précision et spécifier si publiée)

fiche de saisie remplie par Mottier Paul-Emile

lieu Sim, le 26 février 2019 date

Remarques